

II-34 海浜変形の研究 - 河岸付近の水深方向の変動について -

名城大学 正会員 青木 保雄
名城大学 正会員 伊藤 政博

Ⅰ まえがき 河岸付近の変動は海浜の中でも特に底質、波・沿岸流等により大きめに影響を受け、絶えず変形・移動している部分である。現在、波によつてこれまで河岸が後退あるいは前進するかという変動の量的のみことになると、まだそれを予知する方法はなく海岸工学における最も困難な問題の一つである。さらに、河岸付近の変形は直接、間接的に海岸構造物等に関係する。

この研究は、河岸付近の侵食・堆積機構に影響を与えていた因子を突明するため、実験及び統計解析を行つてものである。ここで行なつた実験方法は、従来から一般によく行なわれている方法ではなく、正交実験法を用いた。この方法の特徴として、各因子の影響が常に別個でなく相殺的あるいは相乗的に作用する場合、要因の交互作用効果を個別に把握することが可能である。

Ⅱ 実験順序の決定

実験計画法に従つて実験を行ひて観測データを解析するには、実験の場の均一性を確保することが困難であり、さらに実験回数が多くなりがちになる。そこで、これらの2つの難点を克服するためには実験計画法ではいくつかの原理が導入されている。

(a) 無作為化の原理 (b) 小分けの原理 (c) 旋转の原理 (d) 交絡の原理 (e) 直交化の原理。
以上の(a)～(e)の原理に適合した直交表または直交配列表 (Orthogonal Array) と呼ばれる表を使用することにより、実験及び解析をより容易に行うことができる。

いま、底質砂の粒径として平均粒径 d_m を用い、その水中における比重を γ 、水槽の水平部分の水深を D 、波の特性として沖波波高 H_0 、波長を λ 、周期を T 、初期浜勾配を i_0 、河岸の移動量を x_s (前進の場合を正、後退の場合を負とする)、波の作用時間で表わせば $L = gT^2/2\pi$ の関係から次式解釈して次の式が得られる。

$$\frac{x_s}{L} = f \left(\frac{D}{L}, \frac{H_0}{L}, \frac{d_m}{H_0}, \frac{T}{\lambda}, i_0, \gamma \right) \quad (1)$$

この場合、粘性の影響は省略していい。ここで、 D/L の結果は砂の移動範囲が斜面内であれば無しで差支えないと考えられ、また砂の比重を一定と仮定すればよも取ることができる。だから河岸を含めて、その付近の部分が前進後退に影響する因子は (A) 底質粒径、(B) 初期浜勾配、(C) 沖波波形分配、(R) 波の作用時間であると考える。

(A), (B), (C) の3つの因子を $L_8(2^3)$ 直交配列表に割り付け、さらに波の作用時間因子 (R) を添加する方法を採用して。そのため、実験配置型は直交配置同志 [$L_8(2^3) \otimes L_6(6)$] による正積型配置法とした。表-1はこの方法による各因子の水準値の割り付けを示したものである。実験順序は Test Run No. 1 ～ 8 まで繰返し数回の実験を行なつた。

Ⅲ 実験方法

実験には、幅 90cm、高さ 100cm、長さ 15m の実験造波水槽を使用した。水槽の一端にはフラン

表-1 直交配列表 $L_8(2^7) \times L_8(2^7) \otimes L_6(6')$ 直積型配列表

番号 No.								因 子 名							Test Run No.
	1	2	3	4	5	6	7	(A) 底質粒径 d_{50}	(B) 初期浜勾配 i_0	(C) 波浪波形勾配 H_L/L_0	(R) 波の作用時間 hours				
1	1	1	1	1	1	1	1	1.2 mm	1/10	0.0314	0.5 1 2 4 6 8				6
2	1	1	1	2	2	2	2	1.2	1/10	0.0054	0.5 1 2 4 6 8				5
3	1	2	2	1	1	2	2	1.2	1/18	0.0314	0.5 1 2 4 6 8				8
4	1	2	2	3	2	1	1	1.2	1/18	0.0054	0.5 1 2 4 6 8				7
5	2	1	2	1	3	1	2	0.2	1/18	0.0054	0.5 1 2 4 6 8				3
6	2	1	2	2	1	2	1	0.2	1/18	0.0314	0.5 1 2 4 6 8				4
7	2	2	1	1	2	2	1	0.2	1/10	0.0054	0.5 1 2 4 6 8				1
8	2	2	1	2	1	1	2	0.2	1/10	0.0314	0.5 1 2 4 6 8				2

Y-式造波装置が設置してあり、他端には初期浜勾配 $1/8$, $1/10$ の模型海浜を設置して。実験を進めるに当って、表-1の下の各因子の水準値を実験条件を設定して。波の作用時間 0.5 , 1 , 2 , 4 , 8 時間での海浜変形形状をモニタージで測定して。海浜変形の測定には造波水槽の両側にレールを取り付け、その上で測定台車を移動させて、 20 cm 間隔で測定を行なった。

4 実験結果と解析方法

海浜に一定の沖波が作用すると、海浜は次第に変形し、平衡形状に近づいて行く。この海浜変形形状を表わすために、縦軸に $\%L_0$ 、横軸に x/L_0 を取って無次元化してある。初期浜勾配線と静水面が交わる点を原点 ($y/L_0 = 0.000$, $x/L_0 = 0.00$) として。

図-1は、Test Run No. 4 [底質粒径 $d_{50} = 0.2\text{ mm}$, 初期浜勾配 $i_0 = 1/8$, 波浪波形勾配 $H_L/L_0 = 0.0314$] の水準値で、波の作用時間ごとに無次元化したものである。初期浜勾配線と静水面が交わる点を原点 ($y/L_0 = 0.000$, $x/L_0 = 0.00$) として。

汀線付近の移動量を前進の場合(正), 反対に後退の場合(負)とし, $0.007 \leq y/L_0 \leq -0.020$ の範囲について, $y/L_0 = 0.001$ でとくグラフ上から読み取った。表-2は表-1に従って行なった実験結果から、汀線での水平方向の変動量のデータを記してある。

図-1 波の作用時間毎の海浜形状

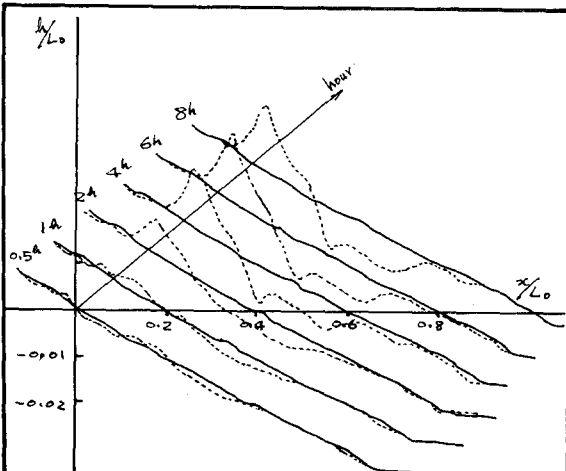


表-2 $L_8(2^7) \otimes L_6(6')$ 型汀線変動分散分析データ

No.	波の作用時間						
	0.5	1	2	4	6	8 h	
1	0.013	0.015	0.011	0.005	0.010	0.015	
2	-0.040	-0.060	-0.035	-0.089	-0.123	-0.152	
3	0.000	0.000	0.036	0.051	0.060	0.070	
4	-0.026	-0.024	-0.034	-0.060	-0.072	-0.111	
5	0.005	0.010	0.020	0.010	0.020	0.019	
6	0.071	0.095	0.090	0.109	0.100	0.075	
7	-0.008	0.037	0.061	0.075	0.092	0.090	
8	-0.013	0.000	0.092	0.108	0.120	0.128	
	$(y/L_0 = 0.000)$						

表-2の個々のデータは、一般的に因子Aの第a水準の A_a ($a=1, \dots, i$)、因子Bの第b水準の B_b ($b=1, \dots, j$)、因子Cの第c水準の C_c ($c=1, \dots, k$)、因子Rの第r水準の R_r ($r=1, \dots, l$) の組合せ (A_a, B_b, C_c, R_r) における測定値を $y_{a b c r}$ で表すことができる。

$$y_{a b c r} = \mu + \beta_r + (\alpha_a + \beta_{a r} + (\gamma_{\beta})_{a a} + \delta_{a c} + (\gamma_{\delta})_{a c} + (\beta_{\delta})_{a c} + (\gamma_{\delta})_{a r} + (\beta_{\delta})_{a r} + (\delta_{\delta})_{a r} + \epsilon_{a b c r} \quad (2)$$

ここで、 μ は一般平均であり、 $\alpha_a, \beta_{a r}, \delta_{a c}, \gamma_{\beta}$ がそれぞれ因子A, B, C, Rの効果を示し、 $(\gamma_{\beta})_{a b}$ が因子AとBの交互作用 ($A * B$) の効果を示す。また、 $\epsilon_{a b c r}$ は a, b, c, r における $y_{a b c r}$ の誤差である。ここで次のようないくつかの分析方法を得ることができる。

$$\begin{aligned} \frac{1}{ijkl} \sum_{a=1}^i \sum_{b=1}^j \sum_{c=1}^k \sum_{r=1}^l y_{a b c r} &= y_{...} \\ \frac{1}{ikl} \sum_{a=1}^i \sum_{c=1}^k \sum_{r=1}^l y_{a b c r} &= y_{a ...} \\ \frac{1}{jl} \sum_{r=1}^l y_{a b c r} &= y_{a b c ...} \\ \frac{1}{l} \sum_{r=1}^l y_{a b c r} &= y_{a b c r} \end{aligned} \quad \left. \begin{array}{l} \frac{1}{l} \sum_{r=1}^l y_{a b c r} = y_{a b c ...} \\ \frac{1}{l} \sum_{r=1}^l y_{a b c r} = y_{a b c r} \end{array} \right\} \quad (3)$$

表-3 一般式での分散分析表。

Factor	Degree of Freedom	Sum of Squares	Mean Square	Variance Ratio	Contribution-Rate %
A	$i-1$	$\sum \sum \sum (y_{...} - y_{...})^2$ = SS_A	$SS_A / (i-1)$ = MS_A	MS_A / MSE	$[SS_A - MS_E] \times (i-1) \times 100 / SST$ = Y_A
B	$j-1$	$\sum \sum \sum (y_{...} - y_{...})^2$ = SS_B	$SS_B / (j-1)$ = MS_B	MS_B / MSE	$[SS_B - MS_E] \times (j-1) \times 100 / SST$ = Y_B
C	$k-1$	$\sum \sum \sum (y_{...} - y_{...})^2$ = SS_C	$SS_C / (k-1)$ = MS_C	MS_C / MSE	$[SS_C - MS_E] \times (k-1) \times 100 / SST$ = Y_C
R	$l-1$	$\sum \sum \sum (y_{...} - y_{...})^2$ = SS_R	$SS_R / (l-1)$ = MS_R	MS_R / MSE	$[SS_R - MS_E] \times (l-1) \times 100 / SST$ = Y_R
$A * R$	$(i-1)(l-1)$	$\sum \sum (y_{...} - y_{...} - y_{...} + y_{...})^2$ = $SS_{A * R}$	$SS_{A * R} / (i-1)(l-1)$ = $MS_{A * R}$	$MS_{A * R} / MSE$	$[SS_{A * R} - MS_E] \times (i-1)(l-1) \times 100 / SST$ = $Y_{A * R}$
$B * R$	$(i-1)(l-1)$	$\sum \sum (y_{...} - y_{...} - y_{...} + y_{...})^2$ = $SS_{B * R}$	$SS_{B * R} / (i-1)(l-1)$ = $MS_{B * R}$	$MS_{B * R} / MSE$	$[SS_{B * R} - MS_E] \times (i-1)(l-1) \times 100 / SST$ = $Y_{B * R}$
$C * R$	$(k-1)(l-1)$	$\sum \sum (y_{...} - y_{...} - y_{...} + y_{...})^2$ = $SS_{C * R}$	$SS_{C * R} / (k-1)(l-1)$ = $MS_{C * R}$	$MS_{C * R} / MSE$	$[SS_{C * R} - MS_E] \times (k-1)(l-1) \times 100 / SST$ = $Y_{C * R}$
$A * B$	$(i-1)(j-1)$	$\sum \sum (y_{...} - y_{...} - y_{...} + y_{...})^2$ = $SS_{A * B}$	$SS_{A * B} / (i-1)(j-1)$ = $MS_{A * B}$	$MS_{A * B} / MSE$	$[SS_{A * B} - MS_E] \times (i-1)(j-1) \times 100 / SST$ = $Y_{A * B}$
$A * C$	$(i-1)(k-1)$	$\sum \sum (y_{...} - y_{...} - y_{...} + y_{...})^2$ = $SS_{A * C}$	$SS_{A * C} / (i-1)(k-1)$ = $MS_{A * C}$	$MS_{A * C} / MSE$	$[SS_{A * C} - MS_E] \times (i-1)(k-1) \times 100 / SST$ = $Y_{A * C}$
$B * C$	$(j-1)(k-1)$	$\sum \sum (y_{...} - y_{...} - y_{...} + y_{...})^2$ = $SS_{B * C}$	$SS_{B * C} / (j-1)(k-1)$ = $MS_{B * C}$	$MS_{B * C} / MSE$	$[SS_{B * C} - MS_E] \times (j-1)(k-1) \times 100 / SST$ = $Y_{B * C}$
E	EF	$\sum \sum (y_{...} - y_{...})^2 - SS_A - SS_B - SS_C - SS_{A * R} - SS_{B * R} - SS_{C * R} - SS_{A * B} - SS_{A * C} - SS_{B * C} = SS_E$	SS_E / EF = MS_E		$100 - (Y_A + Y_B + Y_C + Y_R + Y_{A * R} + Y_{B * R} + Y_{C * R} + Y_{A * C}) = Y_E$
T	$i(k-1)$	$\sum \sum (y_{...} - y_{...})^2 = SST$	$* EF = (i-1)(k-1) - \{(i-1) + (j-1) + (k-1) + (l-1) + (i-1)(l-1) + (i-1)(k-1) + (j-1)(l-1)\}$		

図-2 因子の寄与率分布

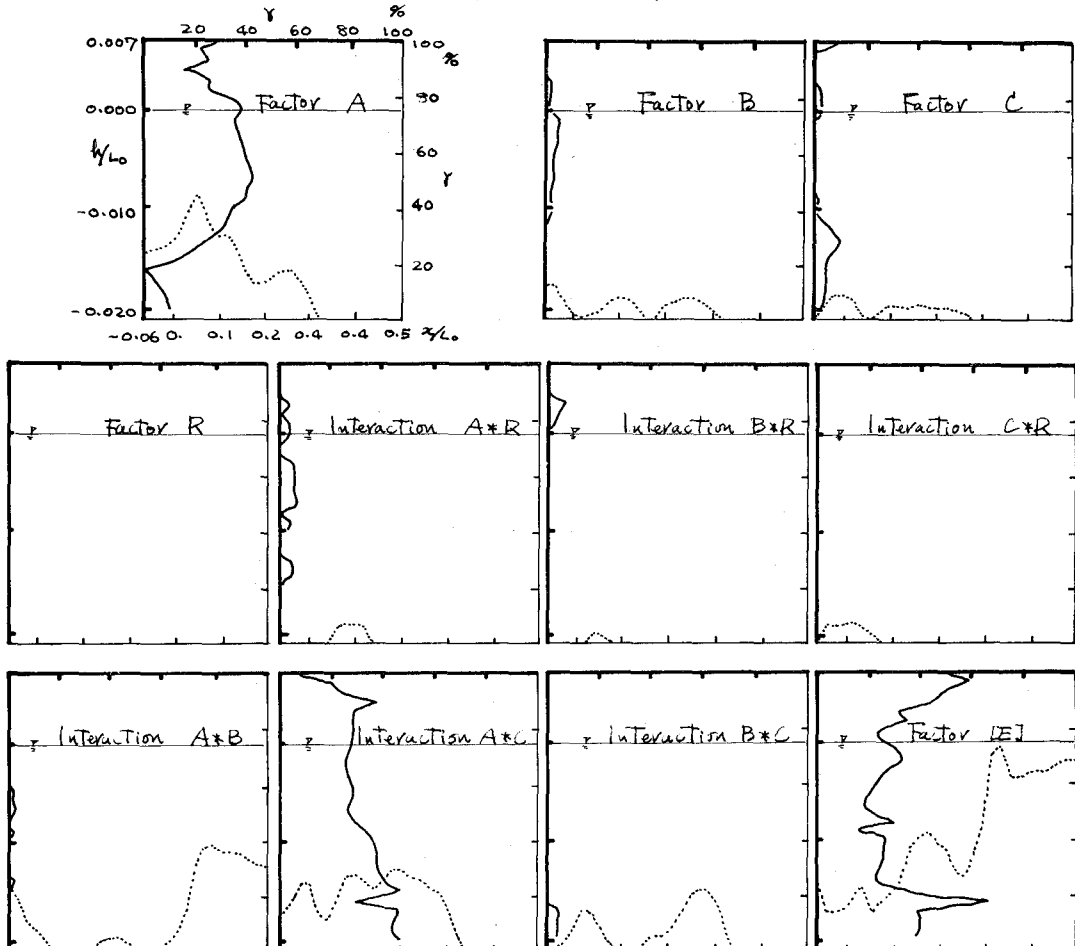


表-3の式に従って、表-2のとおりデータを $0.007 \leq Y \leq -0.020$ まで計算すれば、各因子、各因子の交互作用の寄与率分布を求めることが出来る。その結果をプロットしたのが図-2である。また、図中の破線は鉛直方向の海浜変動に関する寄与率分布である。これらの図から次のことがいえる。

- ① 水平方向の変動に対して、主に因子A(底質粒径)、交互作用因子A*B(底質粒径*沖波波形勾配)が大きく影響しているものと考えられる。それらはY軸方向に影響の大きさが変化している。
- ② 因子C(沖波波形勾配)は単独としてではなく、交互作用の形で影響を及ぼしている。
- ③ 鉛直方向の海浜変動に影響を及ぼす因子が水平方向の変動に影響しあうケースが存在する(etc, A+B, B+C)。すなわち、鉛直方向と水平方向の変動機構の相違と、その方向により変動に影響する因子が異なるためと思われる。

参考文献

- 1) 岩垣、野田：海浜変形における Scale effect の研究、京大防災研究所第4号、昭36.3. pp.210-220
- 2) 増田、伊藤：実験計画法による海浜変形の研究、中部支部、昭45.2. pp.73-74.